

УДК 532.4.621.372.413

МИКРОВОЛНОВЫЙ ИЗМЕРИТЕЛЬ ТОЛЩИНЫ И ДИЭЛЕКТРИЧЕСКОЙ ПРОНИЦАЕМОСТИ ПОКРЫТИЙ С ЦИЛИНДРИЧЕСКИМ ОБЪЕМНЫМ РЕЗОНАТОРОМ АСИММЕТРИЧНОГО ВОЗМУЩЕНИЯ

© В. В. Волков, М. А. Суслин¹

Статья поступила 16 февраля 2016 г.

Рассмотрено использование асимметричных возмущений в цилиндрическом объемном резонаторе с основным колебанием H_{011} для определения толщины и диэлектрической проницаемости покрытия на металле. Проведен численный анализ пространственных флюктуаций электрического поля H_{011} методом конечных элементов в программе COMSOL Multiphysics для пустой и возмущенной полостей. Исследования проведены с помощью оригинальной установки с использованием скалярного измерителя Р2М-18. Конструкция резонатора предусматривала фильтрацию паразитных колебаний. Предложены варианты измерительных схем с возмущенной и пустой полостями для проверки используемого метода.

Ключевые слова: цилиндрический объемный резонатор; покрытие на металле; электромагнитное поле.

Для ряда областей науки и техники актуальна задача измерения толщины и диэлектрических свойств покрытий на металле, а также контроля полупроводниковых пленок, защитных лакокрасочных покрытий на низкоомных подложках и др. По измеренной совместно с толщиной диэлектрической проницаемости покрытия можно косвенным путем определить и другие физические характеристики материала: плотность, содержание компонентов в гетерогенных системах, влажность, степень полимеризации и старения, механические параметры, радиопрозрачность и др. [1].

В работе [2] предложен способ определения диэлектрической проницаемости и толщины покрытий на металле с использованием СВЧ-электромагнитного поля бегущей поверхностной волны над поверхностью диэлектрик – металл. Искомые параметры находят по коэффициенту затухания, измеренного к нормали поверхности диэлектрик – металл на двух длинах волн. Недостаток метода — сложность создания СВЧ электромагнитного поля бегущей волны типа E в одномодовом режиме (длина волны должна быть соизмерима с толщиной покрытия).

СВЧ измерительные средства с цилиндрическим резонаторным преобразователем E -типа, например с колебанием E_{012} , позволяют измерять и толщину, и электропроводность пленок [3]. Однако при устраниении гальванического контакта между боковой и торцевой стенками продольная составляющая поверхности тока на боковой стенке резонатора разрывается, что ведет к неконтролируемому изменению резонансной частоты и добротности колебания E_{012} .

Устранение гальванического контакта между боковой и торцевой стенками в резонаторных измерителях H -типа, например с колебаниями H_{011} и H_{013} , кольцевой ток не меняет. Но при этом показания прибора зависят только от толщины пленки [3].

Цель работы — создание и использование микроволнового измерителя повышенной чувствительности с цилиндрическим объемным резонатором (ЦОР) асимметричного возмущения для определения толщины и диэлектрической проницаемости покрытия на металле.

Силовые линии электрического поля пространственного колебания H_{011} невозмущенного резонатора представляют собой замкнутые концентрические окружности. Напряженность поля максимальна на середине длины l и радиуса a ЦОР и равна нулю на оси и у торцевых стенок резонатора. Результат численного анализа поля методом конечных элементов с помощью программы COMSOL Multiphysics представлен на рис. 1, *a*.

На рис. 1, *b* показан результат численного моделирования электрического поля пространственного колебания H_{011} ЦОР, возмущенного диэлектриком, расположенным у одной из торцевых стенок резонатора. В этом случае силовые линии поля по-прежнему представляют собой замкнутые концентрические окружности (но смешанные от центра к возмущающему диэлектрику). Изменение распределения силовых линий позволяет определить как толщину, так и диэлектрическую проницаемость покрытия на металле.

На рис. 2 показаны схемы определения толщины покрытия на металле с использованием измерителя H -типа с пустым ЦОР. По разности резонансных час-

¹ Военно-учебный научный центр ВВС ВВА, г. Воронеж, Россия.

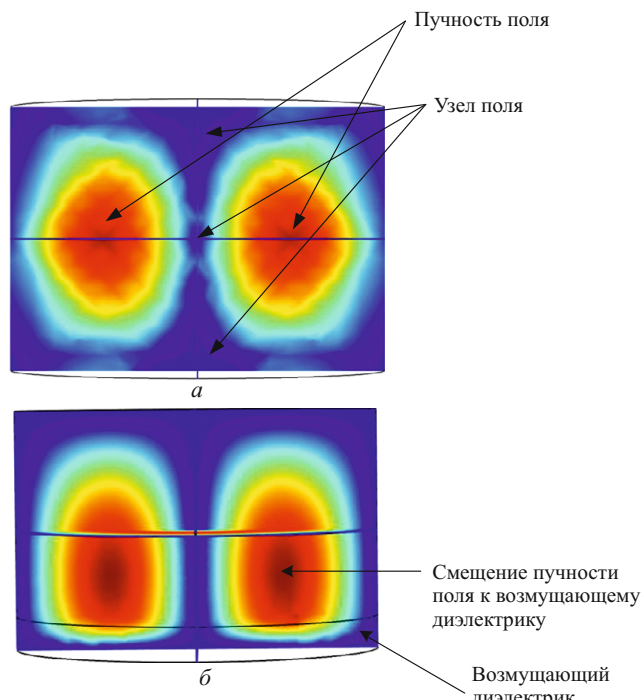


Рис. 1. Результат моделирования электрического поля колебания H_{011} пустого (а) и возмущенного диэлектриком (б) резонаторов

тот резонатора $\Delta f_{21} = f_2 - f_1$ определяют толщину покрытия Δh .

В оригинальной экспериментальной установке (рис. 3) применяли скалярный измеритель цепей Р2М-18 (точность измерения мощности — 0,001 дБ, частоты — 0,001 МГц, шаг сканирования частоты — 1 МГц). Полученные данные сохраняли в электронном виде.

Геометрические параметры измерительного резонатора: диаметр — 152, длина — 112 мм; возбуждающая и приемная петли выступали над поверхностью стенки примерно на 1,5–2,0 мм. Поскольку отношение квадрата диаметра к квадрату длины ЦОР составляло 2,25, это упрощало выделение рабочего колеба-

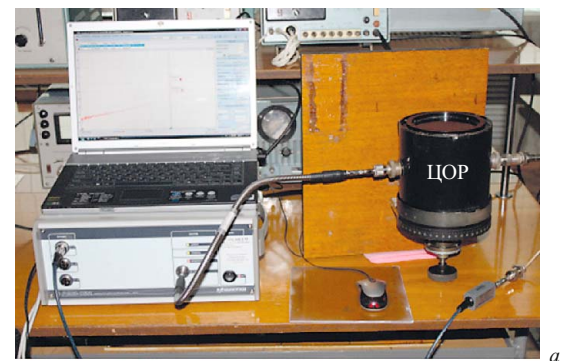


Рис. 3. Экспериментальная установка (а) и ЦОР с возмущающим диэлектриком (б)

ния H_{011} из других пространственных мод электромагнитной волны.

Параметры концентрирующего диэлектрика выбирали эмпирически. Его потери на СВЧ должны быть минимальными, с тем чтобы добротность резонатора оставалась высокой. В исследованиях в качестве возмущающего диэлектрика использовали ФТ-4 (высота — 15 мм).

Схемы для определения толщины покрытия с возмущенным ЦОР представлены на рис. 4. По разности резонансных частот резонатора, возмущенного диэлектриком, $\Delta f'_{21} = f'_2 - f'_1$, которая не зависит от диэлектрической проницаемости покрытия, определяют толщину покрытия Δh (f''_1 — резонансная частота для измерительной схемы с возмущенным ЦОР, у которо-

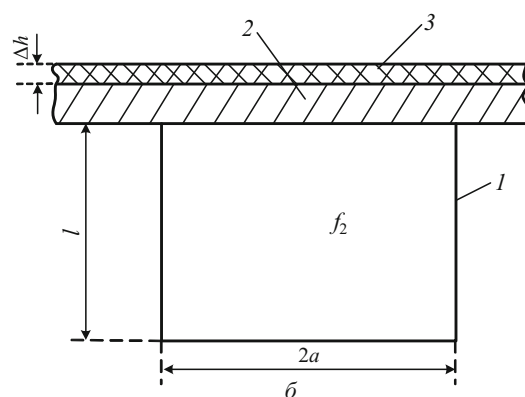
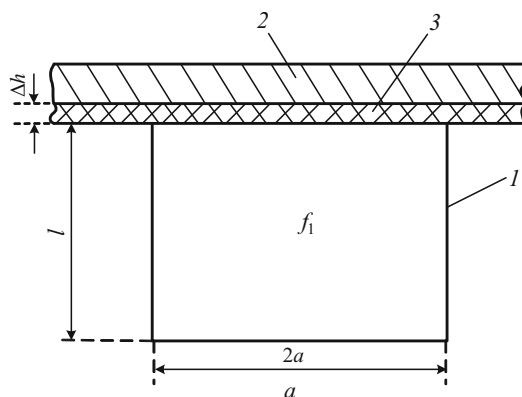


Рис. 2. Схемы определения толщины покрытия на металле с пустым ЦОР с открытым торцом к покрытию (а) и металлу (б): 1 — ЦОР; 2 — металл; 3 — исследуемое покрытие

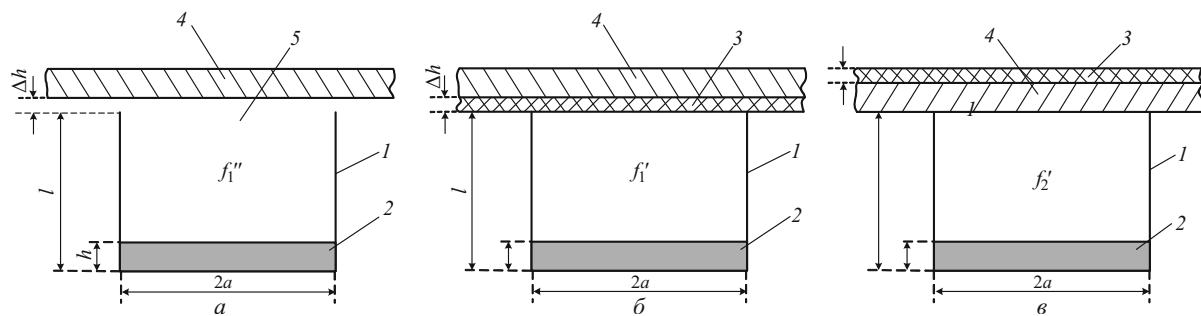


Рис. 4. Схемы определения толщины покрытия на металле с возмущенным ЦОР с открытым торцом к воздушному зазору (*a*), покрытию (*b*) и металлу (*c*): 1 — ЦОР; 2 — возмущающий диэлектрик; 3 — исследуемое покрытие; 4 — металл; 5 — воздушный зазор

го одна из торцевых стенок выполнена в виде металлической подложки с воздушным зазором).

Значения $\Delta f_{21}'$ меньше Δf_{21} (рис. 5), что объясняется смещением максимума напряженности поля к возмущающему диэлектрику (поле ослабляется у противоположной торцевой стенки по сравнению с полем в пустом ЦОР). Тарировка зависимости $\Delta f_{21}'$ от толщины покрытия Δh повышает точность измерений. Результаты представлены для покрытия (на металле) из поливинилхлорида (относительная диэлектрическая проницаемость $\epsilon_n = 3,2 - 3,4$, толщина — 0,2 – 1,2 мм).

Значения Δf_{21} (кривая 1) рассчитывали по формуле

$$f_{011}(l) - f_{011}(l + \Delta h) = \frac{c}{2\pi} \sqrt{\left(\frac{3,832}{a}\right)^2 + \left(\frac{\pi}{l}\right)^2} - \frac{c}{2\pi} \sqrt{\left(\frac{3,832}{a}\right)^2 + \left(\frac{\pi}{l + \Delta h}\right)^2}, \quad (1)$$

где $f_{011} = \frac{c}{2\pi} \sqrt{\left(\frac{x_1^{(0)}}{a}\right)^2 + \left(\frac{\pi}{l}\right)^2}$ — резонансная частота

колебания H_{011} пустого ЦОР; $x_1^{(0)} = 3,832$ — характеристическое число; a и l — радиус и длина резонатора; $c = 3 \cdot 10^8$ м/с — скорость света в вакууме.

На рис. 6 представлены измерительные схемы ЦОР, у которого одна из торцевых стенок, где расположен возмущающий диэлектрик, заменяется покрытием в различных вариантах. Так как максимум напряженности электрического поля смещается к возмущающему диэлектрику, разность частот $\Delta f_{43} = f_4 - f_3$ (см. рис. 6, *a*, *b*) будет зависеть от толщины Δh и диэлектрической проницаемости покрытия ϵ_n . При этом совместный анализ резонансных схем позволяет исследовать влияние Δh и ϵ_n .

На рис. 7 показаны экспериментальные зависимости разности резонансных частот от толщины покрытия.

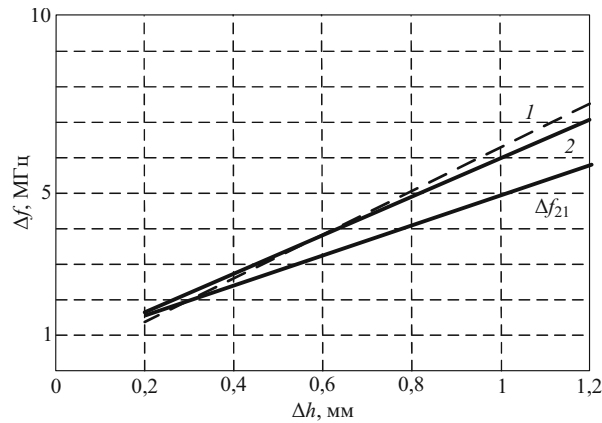


Рис. 5. Зависимость разности частот Δf_{21} от толщины покрытия Δh : 1 — расчет; 2 — эксперимент

Разность $\Delta f_{46} = f_4 - f_6$, зависящая только от Δh , больше Δf_{21} (см. рис. 5), т.е. чувствительность к зазору в случае возмущенного резонатора выше. Разность резонансных частот $\Delta f_{65} = f_6 - f_5$ определяет влияние диэлектрической проницаемости ϵ_n покрытия. При этом (см. рис. 7)

$$\Delta f_{43} \approx \Delta f_{46} + \Delta f_{65}. \quad (2)$$

Смещение максимума напряженности электрического поля увеличивается с ростом диэлектрической проницаемости ϵ_d и высоты h возмущающего резонатора диэлектрика. Для оценки влияния ϵ_d и h на измерение параметров покрытия определяли степень изменения электромагнитного поля при заданных толщине покрытия $\Delta h'$ и диэлектрической проницаемости ϵ'_n (см. рис. 6, *г*).

Степень изменения электромагнитного поля, характеризующая влияние возмущающего диэлектрика, имеет смысл постоянной α измерительной ячейки:

$$E_\phi/E_{\phi 0} = \alpha, \quad (3)$$

где $E_{\phi 0}$ и E_ϕ — составляющие электрического поля пустого и возмущенного диэлектриком резонаторов соответственно.

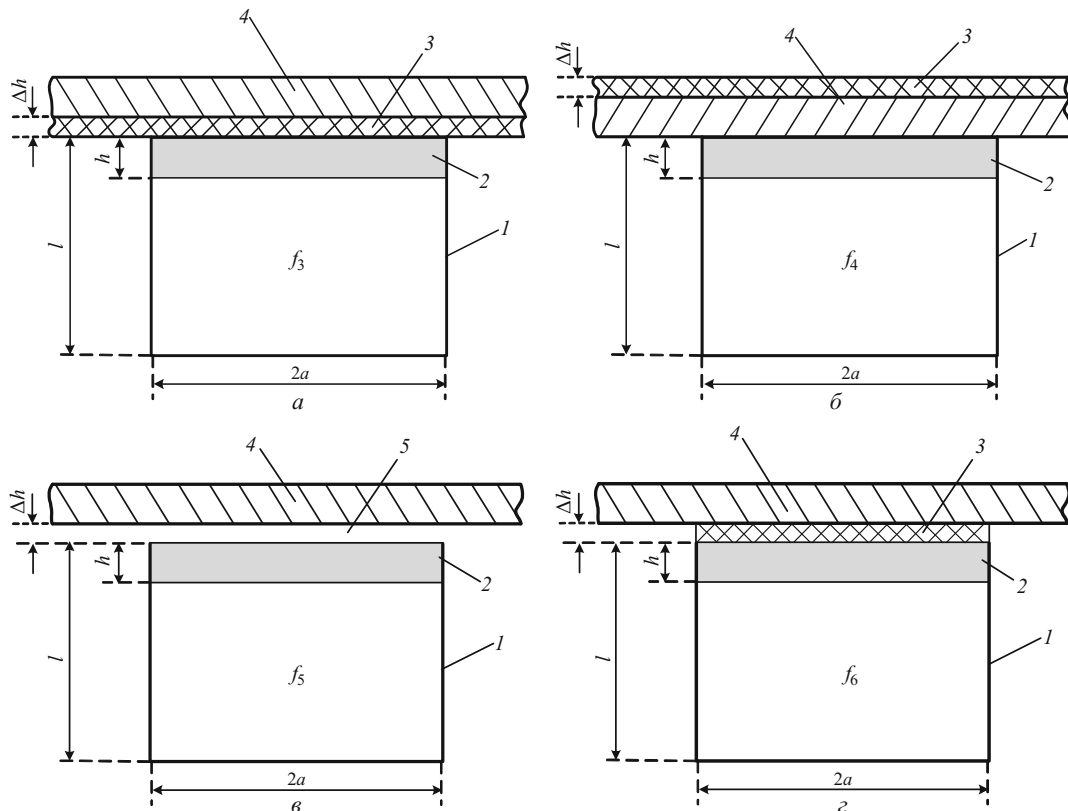


Рис. 6. Измерительные схемы с возмущенным ЦОР: 1 — ЦОР; 2 — возмущающий диэлектрик; 3 — исследуемое покрытие; 4 — металл; 5 — воздушный зазор

Приращение частоты находили методом малых возмущений резонатора с возмущающим диэлектриком. Приравняв это приращение разности частот Δf_{65} (абсолютный уход частоты за счет влияния ϵ'_n), имеем

$$\Delta f_{65}/f_2 = \Delta W/W_0, \quad (4)$$

где $\Delta W = (\epsilon'_n - 1) \int_0^{a/l'} \int_0^{2\pi} \int_0^z \alpha^2 E_{\phi 0}^2 r d\phi dz dr$ — приращение энергии ЦОР за счет диэлектрика; $W_0 = \epsilon_0 \int_0^{a/l'} \int_0^{2\pi} \int_0^z E_{\phi 0}^2 r d\phi dz dr$ — энергия пустого ЦОР; $E_{\phi 0} = AJ_1\left(\frac{3,832}{a}r\right) \sin\left(\frac{\pi}{l'}z\right)$ — модуль электрической составляющей $E_{\phi 0}$; f_2 — резонансная частота пустого ЦОР без возмущения; r и z — радиус и направление оси резонатора; ϕ — угловой параметр ЦОР; A — амплитуда возмущающего поля; $J_1\left(\frac{3,832}{a}r\right)$ — функция Бесселя 1-го рода первого порядка; $l' = 1 + \Delta h'$.

Таким образом, для постоянной измерительной ячейки можно записать:

$$\alpha = \sqrt{\frac{3l'^3 \Delta f_{65}}{(\epsilon'_n - 1) 2\pi^2 \Delta h'^3 f_2}}. \quad (5)$$

Применение возмущающего электрического поля диэлектрика в резонаторе с основным колебанием H_{011} позволяет определить толщину Δh и диэлектрическую проницаемость ϵ_n покрытия на металле. Так, по разности частот $\Delta f'_{21}$ определяют Δh , по измеренной Δf_{43} и $\Delta h - \Delta f_{65}$, а по Δf_{65} на основе модели (4) и постоянной измерительной ячейки a — диэлектрическую проницаемость покрытия ϵ_n , используя зависимость

$$\epsilon_n = \frac{\Delta f_{65}}{f_2} \frac{3l'^3}{2\pi^2 \alpha^2 \Delta h^3} - 1. \quad (6)$$

В практических задачах (например, при измерении толщины и диэлектрических свойств лакокрасочных покрытий) кривизна поверхности контроля вызывает деформацию торцевой стенки резонатора, что эквивалентно появлению в ЦОР дополнительного возмущенного объема. Поправку на криволинейность можно определить из анализа третьего информативного параметра — мощности вытекающей поверхностью волны.

На рис. 8 представлена схема для определения изменения добротности за счет влияния вытекающей поверхностью волны.

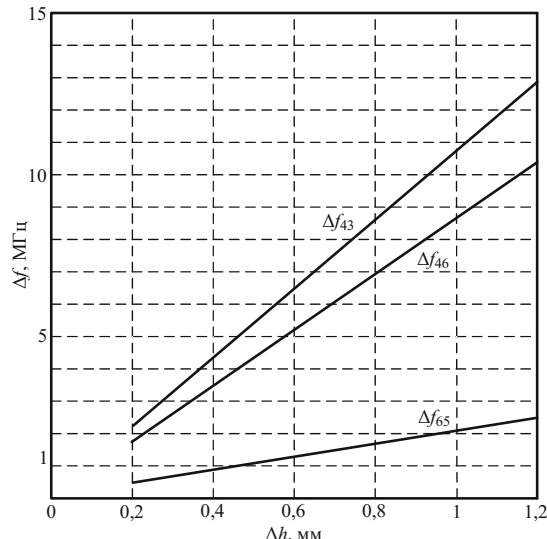


Рис. 7. Экспериментальные зависимости разности резонансных частот Δf от толщины диэлектрического покрытия Δh

Пусть H_r и H_z — составляющие магнитного поля колебания H_{011} . $H_r = 0$ при $r = a$, где a — радиус резонатора. Модуль H_z имеет вид:

$$H_z = AJ_0\left(\frac{3,832}{a}r\right)\sin\left(\frac{\pi}{l'}z\right), \quad (7)$$

где $J_0\left(\frac{3,832}{a}r\right)$ — функция Бесселя 1-го рода нулевого порядка; A — амплитуда возмущающего поля.

Для потока мощности поверхности волны [4] запишем

$$\Pi_n = 0,5Z_E|H_z|^2, \quad (8)$$

где Z_E — волновое сопротивление поверхности волны, H_z — модуль магнитной составляющей при $z = \Delta h$.

Если толщина исследуемого слоя мала ($\Delta h/\lambda \ll 1$, где λ — длина волны), то в направляющей концентрирующей системе распространяется только волна основного типа. Тогда для волнового сопротивления поверхности волны имеем

$$Z_E = W \operatorname{tg}(k_1 \Delta h), \quad (9)$$

$$k_1 = \omega_0 \sqrt{\epsilon_n \mu_0}, \quad (10)$$

где μ_0 — магнитная проницаемость покрытия; $W = \sqrt{\mu_0/\epsilon_n}$; ω_0 — резонансная угловая частота.

При малой толщине слоя $k_1 \Delta h \ll 1$. С учетом (8) – (10) получим

$$\operatorname{tg}(k_1 \Delta h) \approx k_1 \Delta h. \quad (11)$$

Тогда мощность излучения поверхности волны с площадью $S = 2\pi a \Delta h$

$$P_{\text{изл}}^n = \Pi_n S = \pi a \mu_0 \omega_0 \Delta h^2 H_z^2 \quad (12)$$

не зависит от ϵ_n , а определяется толщиной Δh .

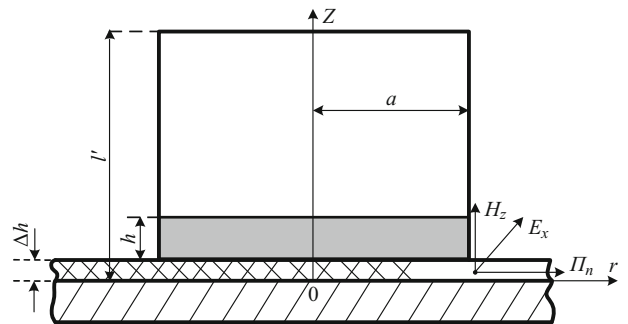


Рис. 8. Схема для анализа вытекающей поверхностной волны

Поскольку в качестве материала покрытия использовали поливинилхлорид ($\epsilon_n = 3,2 - 3,4$, толщина — 0,2 – 1,2 мм) с малыми СВЧ-потерями, для $\Delta h = 1 \text{ мм}$, $\epsilon_n = 3,4$ и $f_0 = 2701 \text{ МГц}$ $k_1 \Delta h = 0,103 \ll 1$, что подтверждает корректность выражения (12).

Парциальная добротность за счет влияния вытекающей поверхностной волны

$$Q_{\text{парц}}^n = \frac{\omega_0}{P_{\text{изл}}^n} \frac{\mu_0}{2} \int_V (H_z^2 + H_r^2) dV = \omega_0 \frac{\mu_0 u_1}{2 P_{\text{изл}}^n}, \quad (13)$$

где V — объем резонатора; $P_{\text{изл}}^n = \Pi_n S$;

$$u_1 = A^2 l' 2\pi a^2 J_0^2(3,832) \left(1 + \frac{\pi^2 a^2}{3,832^2 l'^2}\right) [4].$$

В конечном виде для $Q_{\text{парц}}^n$ имеем

$$Q_{\text{парц}}^n = \frac{1}{4\pi^2 \Delta h^4} l'^3 a \left(1 + \frac{\pi^2 a^2}{3,832^2 l'^2}\right). \quad (14)$$

Таким образом, в измерительной системе на основе ЦОР с асимметричным возмущением в виде диэлектрика с малыми потерями параметр $Q_{\text{парц}}^n$ зависит только от толщины покрытия, Δf_{21} — от высоты диэлектрика и изменения объема резонатора, вызванного деформацией стенки за счет кривизны контролируемой поверхности, а Δf_{65} — от двух вышеуказанных величин и диэлектрической проницаемости исследуемого покрытия. Вариация геометрических размеров ЦОР позволяет реализовать микроволновый измеритель в заданном диапазоне толщин покрытий (уменьшение размеров ЦОР, т.е. увеличение резонансной частоты, приведет к пропорциональному смещению диапазона измерения толщин в сторону меньших значений) и осуществлять неразрушающий локальный контроль толщины и диэлектрической проницаемости покрытия с поправкой на кривизну поверхности.

ЛИТЕРАТУРА

1. Неразрушающий контроль и диагностика. Справочник. — Изд. 3-е, перераб. и доп. / Под ред. В. В. Клюева. — М.: Машиностроение, 2005. — 656 с.
2. Пат. 2193184 РФ, МПК G01 N 22/00, G01R27/26. СВЧ-способ определения диэлектрической проницаемости и толщины диэлектрических покрытий на металле / Суслин М. А., Дмитриев Д. А.; заявитель и патентообладатель ТВАИИ. № 2001102116/09; заявл. 23.01.01; опубл. 20.11.02. Бюл. № 32.
3. **Гордиенко Ю. Е., Гуд Ю. И., Дудкин Ю. А., Старostenко В. В.** Микроволновый измеритель толщины пленок на низкоомных подложках / Приборы и техника эксперимента. 1981. № 3. С. 231 – 234.
4. **Федоров Н. Н.** Основы электродинамики. — М.: Высшая школа, 1980. — 399 с.

REFERENCES

1. **Klyuev V. V.** (ed.). Nerazrushayushchii kontrol' i diagnostika. Spravochnik [Nondestructive testing and diagnostics. Reference book]. 3rd Edition. — Moscow: Mashinostroenie, 2005. — 656 p. [in Russian].
2. RF Pat. 2193184, MPK G01 N 22/00, G01R27/26. SVCh-sposob opredeleniya dielektricheskoi pronitsaemosti i tolshchiny dielektricheskikh pokrytii na metalle [Microwave detection method of dielectric permeability and dielectric coating thickness on a metal] / Suslin M. A., Dmitriev D. A.; appl. and owner TVAII. N 2001102116/09; appl. 23.01.01; publ. 20.11.02. Byull. Otkryt. Izobret. N 32 [in Russian].
3. **Gordienko Yu. E., Gud Yu. I., Dudkin Yu. A., Starostenko V. V.** Mikrovolnovyi izmeritel' tolshchiny plenok na nizkoomnykh podlozhkakh [Microwave measuring instrument of films thickness on low-resistance substrates] / Pribory Tekhn. Éksper. 1981. N 3. P. 231 – 234 [in Russian].
4. **Fedorov N. N.** Osnovy elekrodinamiki [Foundations of electrodynamics]. — Moscow: Vysshaya shkola, 1980. — 399 p. [in Russian].